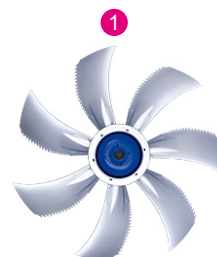




données ventilateur

24.05.2023

version FANselect V 1.01 (230524), AMCA V 1.03 September, 2021
 RLT V 1.00 Dezember, 2021 / 1.23.05.24 | 28707 | (utilisateur ZAFS18707)



| | |
|-----------|----------------------------|
| type | FN080-ZIQ.GL.A7P3 |
| n°article | 180855 Portfolio STD-WWW |

caractéristiques

| | | |
|--|----|-----------------------------|
| moteur | | ECblue |
| Efficiency class | | IE5 |
| tension principale | - | 3~ 400V 50Hz Y |
| température ambiante (t _r) | °C | 65 |
| rendement η_{statA} | % | 48,2 |
| Rendement N_{actual} N_{target} | | 51,6 40 |
| classe ErP | | 2015 Variateur EC intégré |
| grille influence | | pressure side measured |

données ventilateur

| | | |
|---|-------|-----------------|
| vitesse ventilateur (n) max. (n_{max}) | 1/min | - 1100 |
| frequence (f_{BP}) (f_{max}) | Hz | 50 60 |
| dimensions (Lxlxh) | mm | 970 x 970 x 304 |
| poids (m_{pr}) | kg | 53.5 |

valeur nominale

3~ 380-480V Y 50Hz P1 3.10kW
 4.80-3.80A 1100/MIN 65°C
 3~ 380-480V Y 60Hz P1 3.10kW
 4.80-3.80A 1100/MIN 65°C
 IP55 THCL155

PF:PF_50; Ano:180855; STol:+-10 %



courbe debit/pression / Acoustic

24.05.2023

Version FANselect V 1.01 (230524), AMCA V 1.03 September, 2021
 RLT V 1.00 Dezember, 2021 / 1.23.05.24 | 28707 | (utilisateur ZAFS18707)

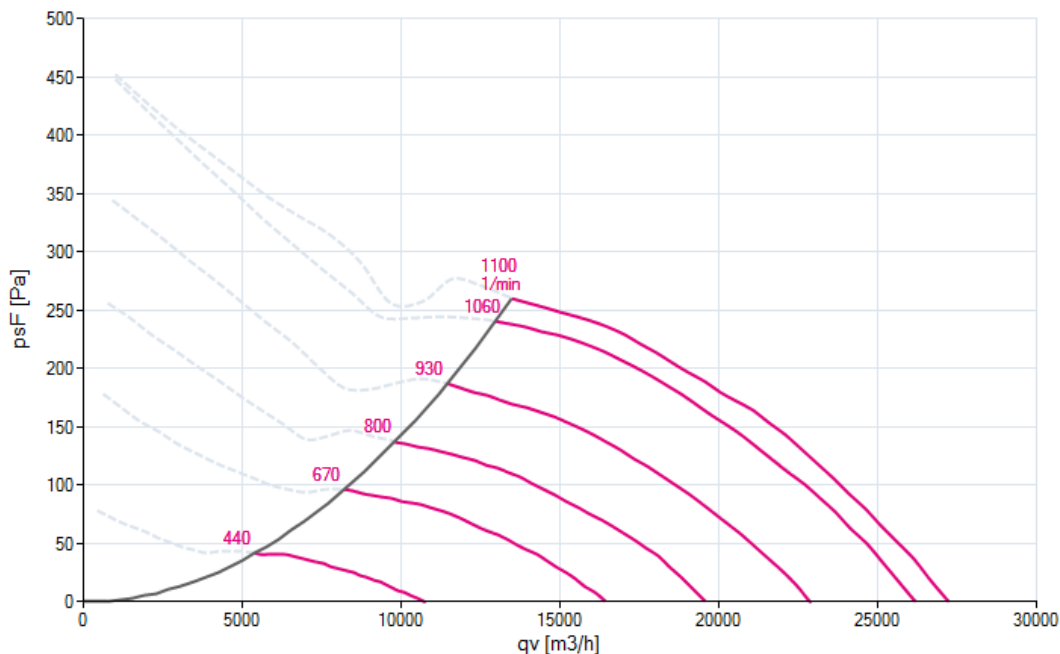
1 FN080-ZIQ.GLA7P3

Measured in full nozzle with pressure side guard grille in air flow direction V in installation type A according to ISO5801

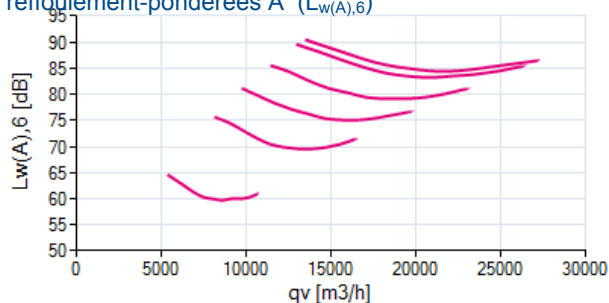
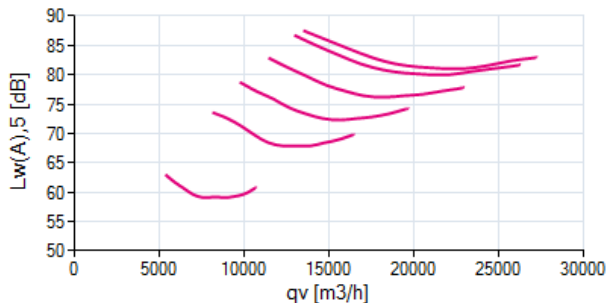
180855 | Portfolio STD-WW

densité de mesure 1.16 [kg/m³]

Performance aéraulique p_{sF}



niveau de puissance acoustique côté aspiration-pondérées A (Niveau de puissance acoustique côté refoulement-pondérées A ($L_{w(A),6}$))



1 FN080-ZIQ.GLA7P3

| f [Hz] | sum | 63 | 125 | 250 | 500 | 1000 | 2000 | 4000 | 8000 |
|--------------|-----|----|-----|-----|-----|------|------|------|------|
| $L_{w(A),5}$ | - | - | - | - | - | - | - | - | - |
| $L_{w,5}$ | - | - | - | - | - | - | - | - | - |

| f [Hz] | sum | 63 | 125 | 250 | 500 | 1000 | 2000 | 4000 | 8000 |
|--------------|-----|----|-----|-----|-----|------|------|------|------|
| $L_{w(A),6}$ | - | - | - | - | - | - | - | - | - |
| $L_{w,6}$ | - | - | - | - | - | - | - | - | - |